

УДК 539.184.01

КУЛОНОВСКАЯ ФУНКЦИЯ ГРИНА ДЛЯ РАСЧЕТА БРЕЙТОВСКИХ ПОПРАВОК

П. Г. Бодашко, С. А. Запрягаев и У. И. Сафронова

Приведены результаты расчета матричных элементов оператора Брейта для изоэлектронных последовательностей Не, Be и Ne. Рассчитаны три члена оператора Брейта: $H^{(1)} = -\alpha^2 \frac{p^4}{8}$; $H^{(4')} = \frac{\alpha^2}{2} \pi Z \delta(r)$, $H^{(3')} = \frac{\alpha^2}{2} Z \frac{LS}{r^3}$. Расчет проводился с функциями нулевого и первого порядка теории возмущений по электростатическому взаимодействию. Для вычислений была использована кулоновская функция Грина, что позволило провести расчеты с большой точностью. Для рассматриваемых изоэлектронных последовательностей были получены аналитические формулы со снятым суммированием по проекциям моментов. Окончательные результаты представлены в виде двух членов ряда по $1/Z$.

Теория возмущений для матричных элементов оператора Брейта была сформулирована ранее в [1-5]. В общем виде для $\langle H_B \rangle$ имеем (a — конфигурация, LSJ — суммарные орбитальный, спиновый и полный моменты LS -терма соответственно)

$$\begin{aligned} \langle aLSJ | H_B | a'L'S'J' \rangle &= \frac{\alpha^2}{4} [E_0^r Z^4 \delta(aLS, a'L'S') + \Delta E_1^r Z^3 \delta(LS, L'S')] + \\ &+ (-1)^{L+S'+J} \left\{ \begin{array}{c} L \quad S \quad J \\ S' \quad L' \quad 1 \end{array} \right\} \frac{\alpha^2}{4} (Z - A)^3 [\delta(a, a') E^{(0)} (Z - B) + \mathcal{E}_{SO}] + (-1)^{L+S'J} \times \\ &\times \left\{ \begin{array}{c} L \quad S \quad J \\ S' \quad L' \quad 2 \end{array} \right\} \frac{\alpha^2}{4} (Z - A)^3 \mathcal{E}_{SS}. \end{aligned} \quad (1)$$

Здесь использованы обозначения, принятые в работе [8]. Первые два члена в (1) описывают сдвиг терма, а остальные — расщепление. Разделим оператор Брейта на сумму одночастичных (H_1) и двухчастичных (H_2) операторов. Как известно, для средних значений $\langle H_1 \rangle$ и $\langle H_2 \rangle$ имеем

$$\begin{aligned} \langle \Psi | H_1 | \Psi \rangle &\simeq aZ^4 + bZ^3 + \dots, \\ \langle \Psi | H_2 | \Psi \rangle &\simeq a'Z^3 + b'Z^2 + \dots, \end{aligned} \quad (2)$$

где Ψ — точные нерелятивистские функции. Расчет a и a' проводился с водородными функциями. Для расчета b использовались функции первого порядка теории возмущений по межэлектронному взаимодействию на водородном базисе. Таким образом, для расчета b необходимо уметь вычислять спектральные суммы по полному набору состояний дискретного и непрерывного спектра. Ранее в работах [4, 5] расчет суммы такого вида проводился непосредственным суммированием матричных элементов по дискретному спектру, а интегрирование по непрерывному спектру проводилось по точкам. Такой расчет нагляден, но не претендует на большую точность. Использование кулоновских функций Грина резко повышает точность расчета и делает ее практически неограниченной. В настоящей работе приводятся результаты расчета всех выражений, необходимых для вычисления поправок первого порядка для трех одночастичных операторов Брейта (p^4 , $\delta(r)$, LS/r^3). Рассмотрены изоэлектронные последовательности Не, Be, Ne.

Общие формулы

В представлении вторичного квантования операторы $(H^{(1)}(\mathbf{r}, \sigma) = -\frac{\alpha^2}{8} p^4, H^{(4')}(\mathbf{r}, \sigma) = \frac{\alpha^2}{2} \pi Z \delta(\mathbf{r}), H^{(3')}(r, \sigma) = \frac{\alpha^2}{2} Z \frac{\mathbf{L}_i \mathbf{S}_i}{r_i^3})$ имеют вид

$$H^{(k)} = \sum_{j_1 j_2} V_{j_1 j_2}^{(k)} a_{j_1}^+ a_{j_2}, \quad (3)$$

где

$$V_{j_1 j_2}^{(k)} = \int d\mathbf{r} \sum_{\sigma} \Psi_{j_1}^*(\mathbf{r}, \sigma) H^{(k)}(\mathbf{r}, \sigma) \Psi_{j_2}(\mathbf{r}, \sigma). \quad (4)$$

В рассматриваемых нами частных случаях для $V_{j_1 j_2}^{(k)}$ имеем

$$\begin{aligned} V_{j_1 j_2}^{(1)} &= \delta(m_1, m_2) \delta(m_{s_1}, m_{s_2}) M^{(1)}(n_1 l_1, n_2 l_2) \frac{\alpha^2}{4} Z^4, \quad V_{j_1 j_2}^{(4')} = \delta(m_1, m_2) \delta(m_{s_1}, m_{s_2}) \times \\ &\times \delta(m_1, 0) M^{(4')}(n_1 l_1, n_2 l_2) \frac{\alpha^2}{4} Z^4, \quad V_{j_1 j_2}^{(3')} = \frac{\alpha^2}{4} Z^4 \delta(l_1, l_2) M^{(3')}(n_1 l_1, n_2 l_2) \times \\ &\times \sum_{\mu} (-1)^{l_1 + m_2 - l_2 + m_{s_2} + \mu} \binom{l_1}{m_2} \binom{l_2}{-m_1} \binom{-1}{\mu} \binom{1/2}{m_{s_2}} \binom{1/2}{-m_{s_1}} \binom{1}{-\mu}, \end{aligned} \quad (5)$$

где

$$\begin{aligned} M^{(1)}(n_1 l_1, n_2 l_2) &= -\frac{1}{2} \delta(l_1, l_2) \int_0^{\infty} dr R_{n_1 l_1}(r) R_{n_2 l_2}(r) \left(2 - \frac{r}{n_1^2}\right) \left(2 - \frac{r}{n_2^2}\right), \quad M^{(4')}(n_1 l_1, n_2 l_2) = \\ &= \frac{1}{2} \delta(l_1, 0) \delta(l_2, 0) R_{n_1 0}(0) R_{n_2 0}(0), \quad M^{(3')}(n_1 l_1, n_2 l_2) = \\ &= \sqrt{\frac{3}{2} l_1 (l_1 + 1) (2l_1 + 1)} \delta(l_1, l_2) P(n_1 l_1, n_2 l_2), \quad P(n_1 l_1, n_2 l_2) = \int_0^{\infty} dr r R_{n_1 l_1}(r) R_{n_2 l_2}(r), \quad (6) \end{aligned}$$

$\begin{pmatrix} a & b & c \\ d & e & f \end{pmatrix}$ — 3jm-символ Вигнера.

В общем случае для функции Ψ с учетом электростатического взаимодействия имеем

$$\Psi_{\varrho} = \frac{S_{\gamma}(0, -\infty) |\Phi_{\varrho}\rangle}{\langle \Phi_{\varrho} | S_{\gamma}(0, \infty) | \Phi_{\varrho} \rangle}, \quad (7)$$

где

$$\Phi_{\varrho} = \frac{1}{n!} \sum_{\beta_1 \dots \beta_n} C_{\beta_1 \dots \beta_n}^{\varrho} a_{\beta_1}^+ a_{\beta_2}^+ \dots a_{\beta_n}^+ \Phi_0. \quad (8)$$

В этом случае, если Φ_0 не содержит электронов, для функции Ψ_{ϱ} в первом порядке по электростатическому взаимодействию W получим

$$\begin{aligned} \Psi_{\varrho}^{(1)} &= -\frac{1}{Z(n-2)!} \sum_{\beta_1 \dots \beta_n} C_{\beta_1 \dots \beta_n}^{\varrho} \frac{1}{2} \sum_{j_1 j_2} W_{j_1 j_2; \beta_2 \beta_1} \times \\ &\times \frac{1}{E_{j_1} + E_{j_2} - E_{\beta_1} - E_{\beta_2} + i\gamma} a_{j_1}^+ a_{j_2}^+ a_{\beta_3}^+ \dots a_{\beta_n}^+ \Phi_0. \end{aligned} \quad (9)$$

В результате для $\langle \Psi_{\varrho}^{(0)} | H | \Psi_{\varrho}^{(1)} \rangle + \langle \Psi_{\varrho}^{(1)} | H | \Psi_{\varrho}^{(0)} \rangle$, вводя кулоновскую функцию Грина $G(E, r_1, r_2)$ и выделяя зависимость от α и Z в явном виде, находим¹

$$\begin{aligned} \frac{\alpha^2}{4} Z^3 E_1^{(k)} &= -\frac{1}{(n-2)!} \sum_{\beta_1 \dots \beta_n} \sum_{\beta'_1 \beta'_2} C_{\beta_1 \dots \beta_n}^{\varrho} C_{\beta'_1 \beta'_2 \beta_3 \dots \beta_n}^{\varrho'} \left\{ \langle \Psi_{\beta'_1}(1) \Psi_{\beta'_2}(2) | \frac{1}{r_{12}} G(E_{\beta'_1} + E_{\beta'_2} - \right. \right. \\ &- E_{\beta_2}; 1, 3) H^{(k)}(3) | \Psi_{\beta_2}(2) \Psi_{\beta_1}(3) \rangle + \langle \Psi_{\beta'_1}(1) \Psi_{\beta'_2}(2) | H^{(k)}(1) G(E_{\beta_1} + E_{\beta_2} - \right. \\ &- E_{\beta_2}; 1, 3) \frac{1}{r_{23}} | \Psi_{\beta_2}(2) \Psi_{\beta_1}(3) \rangle \}. \end{aligned} \quad (10)$$

¹ Для $\langle \Psi_{\varrho}^{(0)} | H | \Psi_{\varrho}^{(0)} \rangle$ соответственно имеем: $\frac{\alpha^2}{4} Z^4 E_0^{(k)} = \frac{1}{(n-1)!} \sum_{\beta_1 \dots \beta_n} \sum_{\beta'_1} C_{\beta_1 \dots \beta_n}^{\varrho} \times C_{\beta'_1 \beta_2 \dots \beta_n}^{\varrho'}$.

² Оптика и спектроскопия, т. 52, вып. 3.

Диаграммным образом мы представили два члена в (10) на рис. 1. Приведенные формулы полностью описывают вклад от релятивистских поправок в первом порядке по $1/Z$ для систем с любым числом электронов при пустом остове.

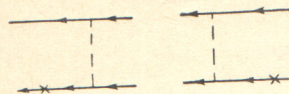


Рис. 1. Диаграммы с пустым остовом.

Обычно принято выделять заполненные оболочки, что позволяет упростить угловую зависимость, т. е. из $C_{\beta_1 \dots \beta_n}^0$ выделить часть, отвечающую заполнен-

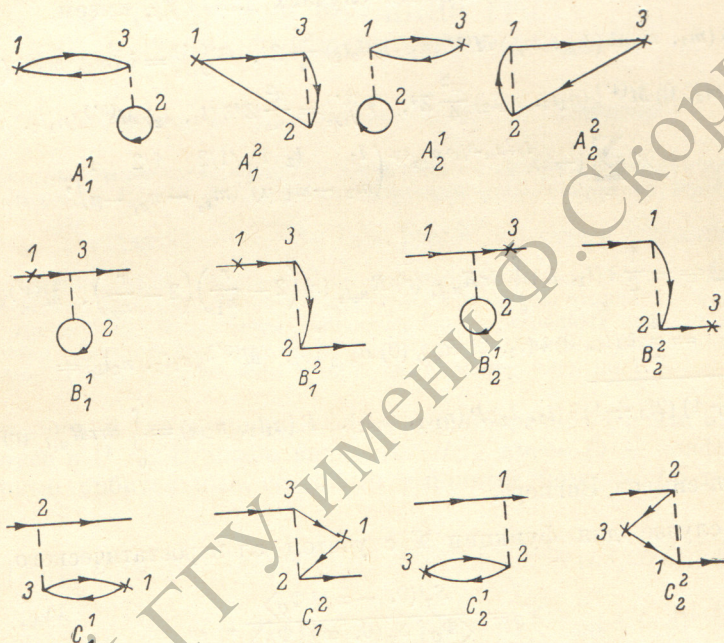


Рис. 2. Диаграммы, описывающие взаимодействие внешнего электрона с электронами заполненных оболочек.

Введение заполненного остова приводит к появлению дополнительных диаграмм (помимо диаграмм на рис. 1), приведенных на рис. 2. Опустив промежуточные выкладки, вклады от диаграмм рис. 2 представим в следующем виде:

$$\frac{e^2}{4} Z^3 (E_{A_1^1} + E_{A_1^2} + E_{A_2^1} + E_{A_2^2}) = - \sum_{j j' \in F_0} \left\langle \Psi_{j'}(1) \Psi_j(2) \left| \frac{1}{r_{23}} H^{(k)}(1) G(E; 1, 3) (1 - P_{23}) \right| \times \Psi_j(2) \Psi_{j'}(3) \right\rangle - \sum_{j j' \in F_0} \left\langle (1 - P_{12}) \Psi_{j'}(1) \Psi_j(2) \left| \frac{1}{r_{12}} G(E; 1, 3) H^{(k)}(3) \right| \times \Psi_j(2) \Psi_{j'}(3) \right\rangle, \quad (11)$$

$$\begin{aligned} \frac{e^2}{4} Z^3 (E_{B_1^1} + E_{B_1^2} + E_{B_2^1} + E_{B_2^2}) &= - \frac{1}{(n-1)!} \sum_{\beta_1 \dots \beta_n} \sum_{\beta'_1} C_{\beta_1 \dots \beta_n}^0 C_{\beta'_1, \beta_2 \dots \beta_n}^{0'} \times \\ &\times \left\{ \sum_j \left\langle \Psi_{\beta_1}(1) \Psi_j(2) \left| \frac{1}{r_{23}} H^{(k)}(1) G(E_{\beta_1}; 1, 3) (1 - P_{23}) \right| \Psi_j(2) \Psi_{\beta_1}(3) \right\rangle + \right. \\ &+ \left. \sum_j \left\langle (1 - P_{12}) \Psi_{\beta_1}(1) \Psi_j(2) \left| \frac{1}{r_{12}} G(E_{\beta_1}; 1, 3) H^{(k)}(3) \right| \Psi_j(2) \Psi_{\beta_1}(3) \right\rangle \right\}, \end{aligned} \quad (12)$$

$$\frac{e^2}{4} Z^3 (E_{C_1^1} + E_{C_1^2} + E_{C_2^1} + E_{C_2^2}) = - \frac{1}{(n-1)!} \sum_{\beta_1 \dots \beta_n} \sum_{\beta'_1} C_{\beta_1 \dots \beta_n}^0 C_{\beta'_1, \beta_2 \dots \beta_n}^{0'} \times$$

$$\begin{aligned} & \times \left\langle \sum_j \left\langle \Psi_j(1) \Psi_{\beta_1}(2) \left| \frac{1}{r_{23}} H^{(k)}(1) G(E_j + E_{\beta_1} - E_{\beta_1}; 1, 3) (1 - P_{23}) \right| \Psi_j(3) \Psi_{\beta_1}(2) \right\rangle + \right. \\ & \left. + \sum_j \left\langle \Psi_{\beta_1}(1) \Psi_j(2) (1 - P_{12}) \left| G(E_j - E_{\beta_1} - E_{\beta_1}; 3, 2) \frac{1}{r_{12}} H^{(k)}(3) \right| \Psi_j(3) \Psi_{\beta_1}(1) \right\rangle \right\rangle. \quad (13) \end{aligned}$$

Обсуждение результатов расчета

Проводя суммирование по проекциям моментов в формулах (11)–(13), не трудно выразить их через радиальные матричные элементы

$$R_{IL}^{\epsilon}(n_1 l_1 n_2 l_2; n_3 l_3 n_4 l_4) = \left\langle R_{n_1 l_1}(1) R_{n_2 l_2}(2) | P^{(1)}(1) g_l(\epsilon; 1, 3) U_L(3, 2) \right| \times \\ \times R_{n_3 l_3}(3) R_{n_4 l_4}(2) \rangle, \quad (14)$$

где $g_l(\epsilon; 1, 3)$ — радиальная часть кулоновской функции Грина,

$$P^{(1)}(1) = \left(\frac{2}{r_1} - \frac{1}{n_1^2} \right) \left(\frac{2}{r_1} - \frac{1}{n_2^2} \right), \quad P^{(4')}(-1) = \delta(r_1, 0), \quad P^{(3')}(1) = \frac{1}{r_1^3}, \quad U_L = \frac{r_1^L}{r_1^{L+1}}; \quad (15)$$

R_{nl} — радиальная часть водородной функции.

Расчет выражений R_{IL}^{ϵ} описан в Приложении. Переходим теперь к обсуждению результатов расчета.

В табл. 1 и 2 приведены результаты расчета для двух одночастичных операторов $H^{(1)}$ и $H^{(4')}$. Мы привели вклад матричных элементов для этих операторов

Таблица 1
 $E_0^r(l_1, l_2); a = 2l_1 3l_2, b = 1s^2 2l_1 3l^2, c = 1s^2 2s^2 2p^6 2l_1^{-1} 3l_2$

	ss	sp	sd	ps	pp	pd
a	-0.211806	-0.187114	-0.167361	-0.128472	-0.103780	-0.084627
b	-1.211806	-1.187114	-1.167361	-1.128472	-1.103780	-1.084627
c	-1.649305	-1.624614	-1.604861	-1.732640	-1.707948	-1.688195

Таблица 2
 $\Delta E_1^r(l_1, l_2, L, S)$

Конфигурация	Терм	a	b	c
2s3s	1S	0.13047750	2.603558	10.039000
	3S	0.08843017	2.561511	9.996958
2s3p	1P	0.08538003	2.483675	9.760748
	3P	0.08604152	2.484336	9.761409
2s3d	1D	0.050884222	2.312265	9.416250
	3D	0.06515316	2.326534	9.430519
2p3p	1S	0.11031740	2.297058	10.213391
	3S	0.06303597	2.249777	10.148004
	1P	0.06077845	2.247520	10.158731
	3P	0.09112105	2.277862	10.158731
	1D	0.09879959	2.285544	10.161215
	3D	0.06168146	2.248423	10.154440
2p3s	1P	0.10797375	2.369500	10.397972
	3P	0.10097025	2.362497	10.389989
2p3d	1P	0.03894551	2.088773	9.817215
	3P	0.04186327	2.091690	9.831549
	1D	0.04822625	2.098053	9.829316
	3D	0.05363240	2.103459	9.829316
	1F	0.04805234	2.097879	9.827718
	3F	0.04027423	2.090101	9.830751

сразу для трех рассматриваемых нами состояний: $2l_1 3l_2$ (a), $1s^2 2l_1 3l_2$ (b) и $1s^2 2s^2 2p^6 2l_1^{-1} 3l_2$ (c). Нулевой порядок от этих операторов, не зависящий

термов, приведен в табл. 1. В табл. 2 для $\Delta E_1^r (l_1, l_2, L, S)$ мы выписали и термы, которые являются одними и теми же для всех трех рассматриваемых нами состояний.

Для вклада от оператора $H^{(3')}$ мы имеем аналогично

$$\langle \Psi_Q | H^{(3')} | \Psi_{Q'} \rangle = \frac{\alpha^2}{4} (E^{(0)} Z^4 + \Delta E^{(1)} Z^3). \quad (16)$$

Как показывает сопоставление с экспериментом, для расчета расщепления терма выражение (16) удобно представить в следующем виде:

$$\langle \Psi_Q | H^{(3')} | \Psi_{Q'} \rangle = \frac{\alpha^2}{4} E^{(0)} Z (Z - A)^3, \quad (17)$$

где

$$A = -\frac{\Delta E^{(1)}}{3E^{(0)}}.$$

Результаты расчета $E^{(0)}$ и A приведены в табл. 3 и 4. Мы объединили двух- и четырехэлектронные системы в табл. 3, так как $E^{(0)}$ для этих двух систем совпадают. Для A мы получаем естественно различные результаты.

Таблица 3

Матрица $\langle Q | H^{(3')} | Q' \rangle = \frac{\alpha^2}{4} B_1 E^{(0)} Z (Z - A)^3$ для двух- и четырехэлектронных систем

Конфигурация	LS	$L'S'$	$E^{(0)}$	$A (2l3l')$	$A (1s^2 2l3l')$
2p3s	$3P$	$3P$	0.25	0.044385	1.536863
	$3P$	$1P$	0.176777	0.046474	1.538952
	$3P$	$3P$	0.162306	0.183587	1.690176
	$1S$	$3P$	0.132303	0.195059	1.704134
	$3S$	$1P$	-0.132303	0.137024	1.646109
	$3S$	$3P$	-0.101571	-0.140361	1.321517
	$1P$	$3D$	0.147919	0.135399	1.644487
	$3P$	$1D$	-0.147919	0.189313	1.698400
	$3P$	$3D$	-0.113560	-0.117321	1.344557
	$1D$	$3D$	0.139082	-0.129691	1.332187
2p3p	$3D$	$3D$	0.362927	0.136575	1.643164
	$3D$	$1P$	-0.062199	-0.097550	1.364328
	$3D$	$3D$	0.033127	0.553172	2.520804
	$1D$	$3D$	0.023424	0.690251	2.657884
	$3P$	$3P$	-0.102778	0.201228	1.590957
2s3d	$1P$	$3P$	0.104100	0.138147	1.702370
	$3D$	$3D$	0.120775	0.235175	1.836261
	$1D$	$3D$	-0.046361	0.391404	1.683817
	$3F$	$3F$	0.348760	0.112897	1.655722
	$1F$	$3F$	-0.194348	0.142953	1.571545
	$3P$	$3D$	-0.203675	0.102499	1.565054
	$1P$	$3D$	0.162164	0.0679556	1.587032
	$3P$	$1D$	-0.162161	0.0946520	1.613728
	$3D$	$3F$	-0.207414	0.113047	1.575594
	$1D$	$3F$	0.165141	0.104019	1.623080
2s3p	$3D$	$1F$	-0.165141	0.079099	1.598159
	$3P$	$3P$	0.074074	0.406398	1.971549
	$3P$	$1P$	-0.052378	0.473818	2.038969

Для полного расчета сдвигов уровней энергии по формуле (1) не достает лишь результатов расчета двухэлектронных операторов. Эти операторы дают вклад в члены ΔE_1^r , B , \mathcal{E}_{so} и \mathcal{E}_{ss} . Их расчет проводился только с водородными функциями, так как учет функций первого порядка привел бы к расчету членов, пропорциональных Z^2 . В настояще время такие расчеты еще не проводились.

Таблица 4

Матрица $\langle Q | H^{(3')} | Q' \rangle = \frac{\alpha^2}{4} B_1 (Z - A)^3 Z E^{(0)}$ для десятиэлектронной системы

Конфигурация	LS	$L'S'$	$E^{(0)}$	A
$1s^2 2s^2 2p^6 3p$	$3P$	$3P$	0.070737	4.889150
	$3P$	$1P$	-0.052378	4.956570
	$3P$	$3P$	-0.0879630	2.460348
	$1S$	$3P$	-0.0718215	2.320569
	$3S$	$1P$	0.0718215	2.471648
	$3S$	$3P$	0.187105	3.552584
	$1P$	$3D$	-0.0802989	2.464865
	$3P$	$1D$	0.0802989	2.457465
	$3P$	$3D$	0.209189	3.554044
	$1D$	$3D$	0.256628	3.551314
$1s^2 2s^2 2p^5 3p$	$3D$	$3D$	-0.196691	2.469389
	$1P$	$3P$	0.114768	3.568450
	$3P$	$3P$	-0.25	3.159578
	$3P$	$1P$	-0.176777	3.157489
	$3D$	$3D$	0.033127	6.941608
$1s^2 2s^2 2p^6 3d$	$1D$	$3D$	0.023424	8.078687
	$3P$	$3P$	0.147220	3.660827
	$1P$	$3P$	-0.0726750	2.338321
	$3D$	$3D$	-0.0655637	4.601876
	$1D$	$3D$	0.135031	4.239923
	$3F$	$3F$	-0.274850	2.648494
	$1F$	$3F$	0.246610	3.559347
	$3P$	$3D$	0.229334	3.359231
	$1P$	$3D$	-0.144020	2.684292
	$3P$	$1D$	0.144020	2.920019
	$3D$	$3F$	0.233545	3.388155
	$1D$	$3F$	-0.146664	2.931552
	$3D$	$1F$	0.146664	2.947381

ПРИЛОЖЕНИЕ

Рассмотрим для примера расчет $R_{LL}^{\mathcal{E}}(n_1 l_1 n_2 l_2; n_3 l_3 n_4 l_4)$ (формула (14)) для случая $P^{(3')}$. Вычисление для других одночастичных операторов проводится аналогичным образом.

Для функции Грина используется разложение [6]:

$$g_e(\mathcal{E}; 1, 2) = \frac{4\mu}{\hbar^2} \frac{Z}{\lambda a_0} (x_1 x_2)^l e^{-\frac{x_1+x_2}{2}} \sum_{n=0}^{\infty} \frac{n! L_n^{2l+1}(x_1) L_n^{2l+1}(x_2)}{(n+2l+1)! (n+l+1-\lambda)}, \quad (\text{П. 1})$$

где $x_1(x_2) = \frac{2r_1}{\nu a_0}(r_2); \nu = \{-2\mathcal{E}\}^{-1/2}, \mathcal{E} = E(2\text{Ry})^{-1}, \lambda = Z\nu$.

Таким образом,

$$\begin{aligned} R_{LL}^{\mathcal{E}}(n_1 l_1 n_2 l_2; n_3 l_3 n_4 l_4) &= \left(\prod_{i=1}^4 N(i) \right) \lambda^{7+k} \sum_{n=0}^{\infty} \frac{n!}{(n+2l+1)!} \frac{1}{n+l+1-\lambda} \times \\ &\times \sum_{m_1=0}^{n_{r_1}} \frac{(-n_{r_1})_{m_1}}{m_1! (2l_1+2)_{m_1}} \left[\frac{\lambda}{n_1} \right]^{m_1+l_1} T_n^{(1)}(k, m_1) \sum_{m_2=0}^{n_{r_2}} \frac{(-n_{r_2})_{m_2}}{m_2! (2l_2+2)_{m_2}} \left[\frac{\lambda}{n_2} \right]^{m_2+l_2} \times \\ &\times \sum_{m_3=0}^{n_{r_3}} \frac{(-n_{r_3})_{m_3}}{m_3! (2l_3+2)_{m_3}} \left[\frac{\lambda}{n_3} \right]^{m_3+l_3} \sum_{m_4=0}^{n_{r_4}} \frac{(-n_{r_4})_{m_4}}{m_4! (2l_4+2)_{m_4}} \left[\frac{\lambda}{n_4} \right]^{m_4+l_4} T_n^{(2)}(m_2, m_3, m_4), \quad (\text{П. 2}) \end{aligned}$$

где

$$N(i) = \frac{1}{(2l_i+1)!} \sqrt{\frac{(n_i+l_i)!}{(n_i-l_i-1)! 2n_i}}, \quad k = -3, \quad n_{r_i} = n_i - l_i - 1, \quad T_n^{(1)}(k, m_1) \equiv$$

$$\begin{aligned}
& \equiv \int_0^{\infty} x_1^{l_1+l+2+m_1+k} e^{-Sx_1} L_n^{2l+1}(x_1) dx_1 = \frac{(2l+2)_n (l_1+l+m_1+2+k)!}{n! S^{l_1+l+m_1+3+k}} F_{21}(-n, l_1+l+ \\
& + m_1+3+k; 2l+2; s^{-1}), \quad T_n^{(2)}(m_2, m_3, m_4) \equiv \int_0^{\infty} x_1^{\lambda_1} e^{-S_1 x_1} L_n^{2l+1}(x_1) \times \\
& \times \frac{x_2^L}{x_2^{L+1}} x_2^{\lambda_2} e^{-S_2 x_2} dx_1 dx_2 = \frac{(2l+2)_n}{n!} \left[\frac{(\lambda_1-L-1)! (\lambda_2+L)!}{S_1^{\lambda_1-L}} F_{21}(-n, \lambda_1-L; 2l+2; S_1^{-1}) - \right. \\
& - \sum_{p=0}^{\lambda_1+L} \frac{(\lambda_2+L)! (\lambda_1+p-L-1)!}{p! S_2^{\lambda_2+L+1-p} (S_1+S_2)^{\lambda_1+p+L}} F_{21}(-n, \lambda_1+p-L; 2l+2; (S_1+S_2)^{-1}) + \\
& + \left. \frac{(\lambda_2-L-1)!}{S_2^{\lambda_2-L}} \sum_{p=0}^{\lambda_2-L-1} \frac{S_2^p (\lambda_1+L+p)!}{p! (S_1+S_2)^{\lambda_1+L+p+1}} F_{21}(-n, \lambda_1+L+p+1; 2l+2; (S_1+S_2)^{-1}) \right], \\
& S = \frac{1}{2} \left(1 + \frac{\lambda}{n_1} \right), \quad S_1 = \frac{1}{2} \left(1 + \frac{\lambda}{n_3} \right), \quad S_2 = \frac{\lambda}{2} \left(\frac{1}{n_2} + \frac{1}{n_4} \right), \quad \lambda_1 = l + l_3 + m_3 + 2, \\
& \lambda_2 = l_2 + l_4 + m_2 + m_4 + 2, \quad \lambda = (n_3^{-2} + n_4^{-2} - n_2^{-2})^{-1/2}, \quad (\text{II. } 3)
\end{aligned}$$

$F_{21}(A, B; C; x)$ — гипергеометрическая функция Гаусса^[7]. Отсюда видно, что R_{IL}^{ε} является конечной переборкой выражений вида

$$J = \sum_{n=0}^{\infty} \frac{(C)_n}{n! (n-\mu)} F_{21}(-n, A; C; x) F_{21}(-n, B; C; y), \quad (\text{II. } 4)$$

где A, B и C — целые числа, $\mu = \lambda - l - 1$. Так как в рассматриваемых нами матричных элементах либо $n_1 = n_3$ и $n_2 = n_4$, либо $n_1 = n_4$ и $n_2 = n_3$, то из определения λ видно, что $\lambda = n_1$ и, следовательно, $S = 1$. Таким образом, в (II. 4) аргумент первой гипергеометрической функции равен единице, т. е. она выражается через гамма-функции^[7], и поэтому

$$\begin{aligned}
J &= \sum_{n=0}^{\infty} \frac{(C)_n \Gamma(C-A+n) \Gamma(C)}{n! \Gamma(C-A) \Gamma(C+n) (n-\mu)} F_{21}(-n, B; C; y) = \\
&= \sum_{n=0}^{\infty} \frac{(C-A)_n}{n! (n-\mu)} F_{21}(-n, B; C; y). \quad (\text{II. } 5)
\end{aligned}$$

Данную сумму можно свернуть в конечную переборку гипергеометрических функций. Здесь возможны следующие ситуации.

1. $A \geqslant C$. В этом случае ряд обрывается при $n = A - C$.

2. $A < C$. Здесь возможны два варианта.

a) $B \geqslant C$. Используя известное выражение для $F_{21}[7]$

$$F_{21}(-n, C+m; C; y) = \frac{\Gamma(C)}{\Gamma(C+m)} y^{1-C} \frac{d^m}{dy^m} (y^{C+m-1} (1-y)^n), \quad m \equiv B - C,$$

для J находим

$$\begin{aligned}
J &= \frac{\Gamma(C)}{\Gamma(B)} y^{1-C} \frac{d^{B-C}}{dy^{B-C}} y^{B-1} \frac{1}{-\mu} \sum_{n=0}^{\infty} \frac{(C-A)_n (-\mu)_n}{n! (1-\mu)_n} (1-y)^n = \\
&= -\frac{1}{\mu} \frac{\Gamma(C)}{\Gamma(B)} y^{1-C} \frac{d^{B-C}}{dy^{B-C}} y^{B-1} F_{21}(C-A, -\mu; 1-\mu; 1-y). \quad (\text{II. } 6)
\end{aligned}$$

б) $B < C$. В этом случае удобно воспользоваться следующим интегральным представлением для $F_{21}[7]$:

$$F_{21}(-n, B; C; Y) = \frac{\Gamma(C)}{\Gamma(B) \Gamma(C-B)} \int_0^1 t^{B-1} (1-t)^{C-B-1} (1-ty)^n dt. \quad (\text{II. } 7)$$

Подставляя в (П. 5) и вычисляя сумму по n , находим

$$\begin{aligned}
 J &= \frac{\Gamma(C)}{\Gamma(B)\Gamma(C-B)} \frac{1}{-\mu} \int_0^1 t^{B-1} (1-t)^{C-B-1} F_{21}(C-A, -\mu; 1-\mu; 1-ty) dt = \\
 &= \frac{\Gamma(C)}{\Gamma(B)\Gamma(C-B)} \frac{1}{\mu} \sum_{i=0}^{C-B-1} \frac{(1+B-C)_i}{i! y^{B+i}} \sum_{j=0}^{B+i-1} \frac{(1-B-i)_j}{j!} \times \\
 &\quad \times \int_1^{1-y} u^j F_{21}(C-A, -\mu; 1-\mu; u) du. \tag{П.8}
 \end{aligned}$$

В результате J выражается в виде конечных сумм от интегралов вида

$$\begin{aligned}
 \int_a^b u^j F_{21}(C-A, -\mu; 1-\mu; u) du &\equiv \int_a^b u^{j+\mu-1} [u^{1-\mu} F_{21}(C-A, -\mu, 1-\mu; u)] du = \\
 &= \frac{u^{j+1}}{j+\mu} F_{21}(C-A, -\mu; 1-\mu; u) \Big|_a^b - \frac{1-\mu}{j+\mu} \int_a^b \frac{u^j}{(1-u)^{C-A}} du. \tag{П.9}
 \end{aligned}$$

Здесь проведено интегрирование по частям и использована формула

$$\frac{d}{dx} (x^a F_{21}(b, a-1; a; x)) = ax^{a-1} F_{21}(b, a; a; x) \equiv \frac{ax^{a-1}}{(1-x)^b}.$$

Интеграл в (П.9) выражается через элементарные функции. Входящие в выражения для J гипергеометрические функции являются либо полиномами (случай 1), либо выражаются ввиду целочисленности всех параметров через функцию

$$F_{21}(1, 1; 2; x) \equiv -(1-x)^{-1} \ln x.$$

Литература

- [1] A. L. Stewart. Proc. Phys. Soc., 88, 311, 1966.
- [2] M. Cohen, A. Dalgarno. Proc. Roy. Soc., 275, 492, 1963.
- [3] D. Layzer, J. Bahcall. Ann. Phys., 17, 177, 1962.
- [4] У. И. Сафронова. Опт. и спектр., 28, 1050, 1970.
- [5] У. И. Сафронова, В. Н. Харитонова. Опт. и спектр., 28, 1039, 1970.
- [6] Л. П. Рапопорт, Б. А. Зон, Н. Л. Манаков. Теория многофотонных процессов в атомах. Атомиздат, М., 1978.
- [7] Г. Бейтмен, А. Эрдейи. Высшие трансцендентные функции, т. 1. «Наука», М., 1973.
- [8] L. A. Vainshtein, U. I. Safronova. Atom. data and nucl. data Tables., 21, 49, 1978.

Поступило в Редакцию 6 августа 1980 г.